

Les trous noirs: de la théorie aux observations

Éric Gourgoulhon

Laboratoire Univers et Théories
Observatoire de Paris, CNRS, Université PSL, Université Paris Cité
92190 Meudon, France

<https://luth.obspm.fr/~luthier/gourgoulhon/>

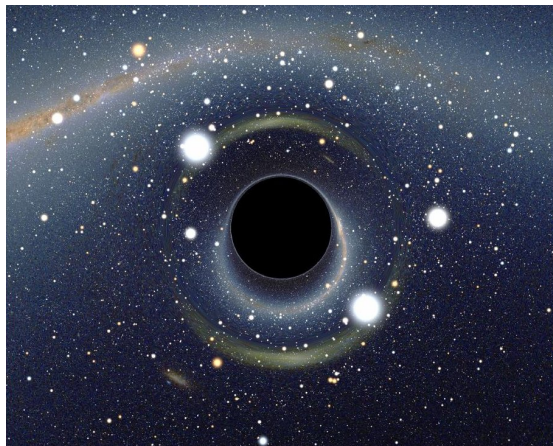
XIIIe Festival de la science de Sofia
en partenariat avec
l'Institut français de Bulgarie
13 mai 2023

- 1 Le trou noir comme objet théorique
- 2 Simulations d'images de trou noir
- 3 Les trous noirs dans l'Univers
- 4 Conclusions et perspectives

Plan

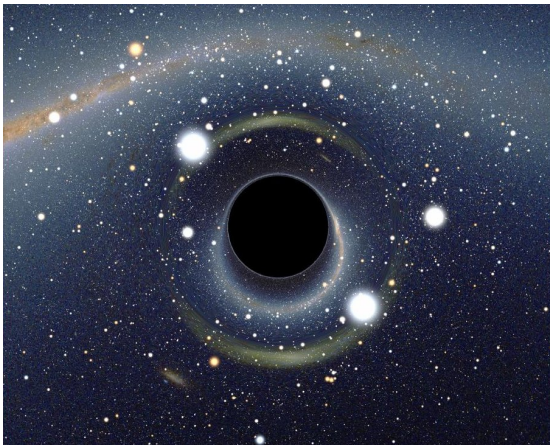
- 1 Le trou noir comme objet théorique
- 2 Simulations d'images de trou noir
- 3 Les trous noirs dans l'Univers
- 4 Conclusions et perspectives

Qu'est-ce qu'un trou noir ?



[Alain Riazuelo, 2007]

Qu'est-ce qu'un trou noir ?



[Alain Riazuelo, 2007]

Une définition en quelques mots :

Un **trou noir** est une région de l'espace-temps d'où rien, pas même la lumière, ne peut s'échapper.

La frontière (immatérielle) entre l'intérieur du trou noir et le reste de l'Univers est appelée **horizon des événements**.

Pourquoi la lumière ne peut-elle s'échapper ?

Réponse pour la mécanique newtonnienne (J. Michell 1784, Laplace 1796) :

C'est en raison de la **gravitation** :

la **vitesse de libération** dépasse la vitesse de la lumière

Pourquoi la lumière ne peut-elle s'échapper ?

Réponse pour la mécanique newtonnienne (J. Michell 1784, Laplace 1796) :

C'est en raison de la **gravitation** :
la **vitesse de libération** dépasse la vitesse de la lumière

Théorie de Newton de la gravitation :

La **vitesse de libération** d'un corps sphérique de masse M

et de rayon R est
$$V_{\text{lib}} = \sqrt{\frac{2GM}{R}}$$

avec $G = 6.67 \cdot 10^{-11} \text{ m}^3\text{kg}^{-1}\text{s}^{-2}$ (constante de Newton)

- Terre : $V_{\text{lib}} = 11 \text{ km/s}$
- Soleil : $V_{\text{lib}} = 617 \text{ km/s}$

La lumière ne s'échappe pas si
 $V_{\text{lib}} > c \simeq 300\,000 \text{ km/s}$



La préhistoire des trous noirs au XVIIIe siècle...

$$V_{\text{lib}} > c \iff \frac{2GM}{R} > c^2 \iff \frac{2G}{R} \times \frac{4}{3}\pi R^3 \rho > c^2 \iff R > \sqrt{\frac{3c^2}{8\pi G\rho}}$$

John Michell (1784)

"If there should really exist in nature any bodies, whose density is not less than that of the sun, and whose diameters are more than 500 times the diameter of the sun, since their light could not arrive at us, ..., we could have no information from sight" [Phil. Trans. R. Soc. Lond. 74, 35 (1784)]



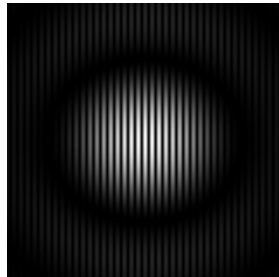
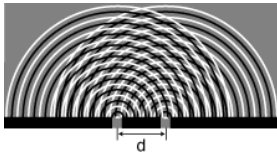
Pierre Simon de Laplace (1796)

"Un astre lumineux, de la même densité que la Terre, et dont le diamètre serait 250 fois plus grand que le Soleil, ne permettrait, en vertu de son attraction, à aucun de ses rayons de parvenir jusqu'à nous. Il est dès lors possible que les plus grands corps lumineux de l'univers puissent, par cette cause, être invisibles." [Exposition du système du monde (1796)]



Les “corps invisibles” tombent dans l’oubli...

- Mention des “corps invisibles” par Laplace dans les deux premières éditions de son *Exposition du système du Monde* (1796 et 1799)
- Suppression dans la troisième édition (1808) et les suivantes : prédominance de la **théorie ondulatoire de la lumière** sur la théorie corpusculaire après les expériences de Thomas Young (1801)



[R. Taillet]

Limites du concept newtonien de trou noir

- Pas de rôle privilégié de la vitesse de la lumière en théorie newtonienne : rien n'interdit $V > c \implies$ les corps invisibles de Michell et Laplace restent causalement connectés au reste de l'Univers
- $V_{\text{lib}} \sim c \implies$ énergie du champ gravitationnel \sim énergie de masse Mc^2
 \implies théorie *relativiste* de la gravitation nécessaire !

\implies le traitement correct des trous noirs ne peut se faire qu'en **relativité générale** (ou dans l'une de ses généralisations)

Limites du concept newtonien de trou noir

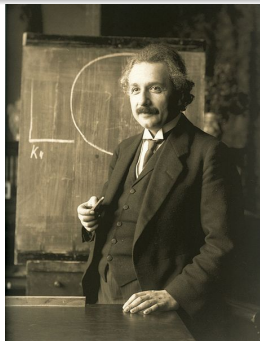
- Pas de rôle privilégié de la vitesse de la lumière en théorie newtonienne : rien n'interdit $V > c \implies$ les corps invisibles de Michell et Laplace restent causalement connectés au reste de l'Univers
- $V_{\text{lib}} \sim c \implies$ énergie du champ gravitationnel \sim énergie de masse $Mc^2 \implies$ théorie *relativiste* de la gravitation nécessaire !

\implies le traitement correct des trous noirs ne peut se faire qu'en **relativité générale** (ou dans l'une de ses généralisations)

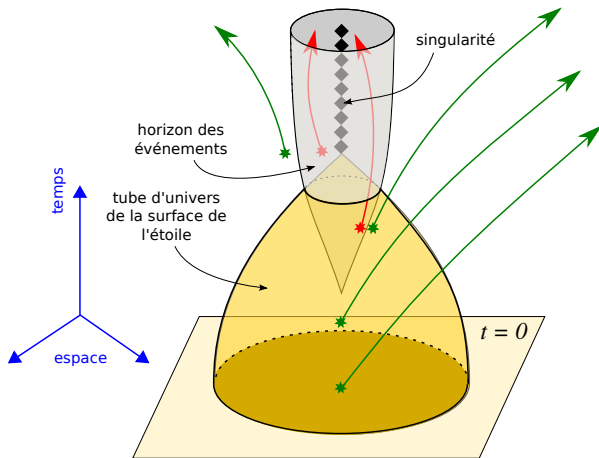
$$R - \frac{1}{2}Rg = \frac{8\pi G}{c^4} T$$

(A. Einstein, novembre 1915)

La relativité générale décrit la gravitation comme la **courbure de l'espace-temps**



Effondrement gravitationnel d'une étoile



← Diagramme d'espace-temps représentant la formation d'un trou noir par effondrement gravitationnel du cœur d'une étoile massive (phénomène de *supernova*)

singularité : courbure $\rightarrow \infty$

Théorème de Penrose (1965)

Au delà d'un certain stade de l'effondrement, caractérisé par l'apparition de **surfaces piégées**, la formation d'une singularité est inévitable.

Les trous noirs de la relativité générale

Théorème d'unicité ("absence de chevelure")

Dorochkevitch, Novikov & Zeldovitch (1965), Israel (1967), Carter (1971), Hawking (1972), Robinson (1975)

En relativité générale (et en dimension 4), un trou noir stationnaire est entièrement décrit par seulement deux nombres^a :

- sa *masse* M
- son *moment cinétique* J (mesure l'état de rotation)

La solution correspondante l'équation d'Einstein est la **solution de Kerr (1963)**. Pour $J = 0$, elle se réduit à la **solution de Schwarzschild (1916)**.

a. trois si on considère une charge électrique Q non nulle, mais ce n'est pas pertinent d'un point de vue astrophysique

Les trous noirs de la relativité générale

Théorème d'unicité ("absence de chevelure")

Dorochkevitch, Novikov & Zeldovitch (1965), Israel (1967), Carter (1971), Hawking (1972), Robinson (1975)

En relativité générale (et en dimension 4), un trou noir stationnaire est entièrement décrit par seulement deux nombres^a :

- sa *masse* M
- son *moment cinétique* J (mesure l'état de rotation)

La solution correspondante l'équation d'Einstein est la **solution de Kerr (1963)**. Pour $J = 0$, elle se réduit à la **solution de Schwarzschild (1916)**.

a. trois si on considère une charge électrique Q non nulle, mais ce n'est pas pertinent d'un point de vue astrophysique

⇒ Un trou noir est un objet extrêmement régulier :
il "*n'a pas de cheveux*" (John A. Wheeler)

Quelques propriétés des trous noirs (1/2)

- **Un trou noir n'est pas un "aspirateur universel"** : au delà d'une certaine distance (de l'ordre de grandeur de la taille de l'horizon), la matière peut tout à fait rester en orbite stable autour du trou noir.

Quelques propriétés des trous noirs (1/2)

- **Un trou noir n'est pas un "aspirateur universel"** : au delà d'une certaine distance (de l'ordre de grandeur de la taille de l'horizon), la matière peut tout à fait rester en orbite stable autour du trou noir.
- **Un trou noir n'est pas un "objet extrêmement dense"** : au contraire, il est fait de **vide** (l'horizon est une frontière immatérielle), sauf peut-être en son centre (*singularité*). Si l'on définit une "densité moyenne" par $\bar{\rho} = M/(4/3\pi R^3)$, alors

Quelques propriétés des trous noirs (1/2)

- **Un trou noir n'est pas un "aspirateur universel"** : au delà d'une certaine distance (de l'ordre de grandeur de la taille de l'horizon), la matière peut tout à fait rester en orbite stable autour du trou noir.
- **Un trou noir n'est pas un "objet extrêmement dense"** : au contraire, il est fait de **vide** (l'horizon est une frontière immatérielle), sauf peut-être en son centre (*singularité*). Si l'on définit une "densité moyenne" par $\bar{\rho} = M/(4/3\pi R^3)$, alors
 - pour le trou noir au centre de notre galaxie (Sgr A*) : $\bar{\rho} \sim 10^6 \text{ kg m}^{-3} = 2 \cdot 10^{-4} \times$ la densité d'une naine blanche

Quelques propriétés des trous noirs (1/2)

- **Un trou noir n'est pas un "aspirateur universel"** : au delà d'une certaine distance (de l'ordre de grandeur de la taille de l'horizon), la matière peut tout à fait rester en orbite stable autour du trou noir.
- **Un trou noir n'est pas un "objet extrêmement dense"** : au contraire, il est fait de **vide** (l'horizon est une frontière immatérielle), sauf peut-être en son centre (*singularité*). Si l'on définit une "densité moyenne" par $\bar{\rho} = M/(4/3\pi R^3)$, alors
 - pour le trou noir au centre de notre galaxie (Sgr A*) : $\bar{\rho} \sim 10^6 \text{ kg m}^{-3} = 2 \cdot 10^{-4} \times$ la densité d'une naine blanche
 - pour le trou noir au centre de la galaxie M87 (M 87*) : $\bar{\rho} \sim 2 \text{ kg m}^{-3} = 1/500^{\text{e}}$ de la densité de l'eau !

Quelques propriétés des trous noirs (1/2)

- **Un trou noir n'est pas un "aspirateur universel"** : au delà d'une certaine distance (de l'ordre de grandeur de la taille de l'horizon), la matière peut tout à fait rester en orbite stable autour du trou noir.
- **Un trou noir n'est pas un "objet extrêmement dense"** : au contraire, il est fait de **vide** (l'horizon est une frontière immatérielle), sauf peut-être en son centre (*singularité*). Si l'on définit une "densité moyenne" par $\bar{\rho} = M/(4/3\pi R^3)$, alors
 - pour le trou noir au centre de notre galaxie (Sgr A*) : $\bar{\rho} \sim 10^6 \text{ kg m}^{-3} = 2 \cdot 10^{-4} \times$ la densité d'une naine blanche
 - pour le trou noir au centre de la galaxie M87 (M 87*) : $\bar{\rho} \sim 2 \text{ kg m}^{-3} = 1/500^{\text{e}}$ de la densité de l'eau !

Quelques propriétés des trous noirs (1/2)

- **Un trou noir n'est pas un "aspirateur universel"** : au delà d'une certaine distance (de l'ordre de grandeur de la taille de l'horizon), la matière peut tout à fait rester en orbite stable autour du trou noir.
- **Un trou noir n'est pas un "objet extrêmement dense"** : au contraire, il est fait de **vide** (l'horizon est une frontière immatérielle), sauf peut-être en son centre (*singularité*). Si l'on définit une "densité moyenne" par $\bar{\rho} = M/(4/3\pi R^3)$, alors
 - pour le trou noir au centre de notre galaxie (Sgr A*) : $\bar{\rho} \sim 10^6 \text{ kg m}^{-3} = 2 \cdot 10^{-4} \times$ la densité d'une naine blanche
 - pour le trou noir au centre de la galaxie M87 (M 87*) : $\bar{\rho} \sim 2 \text{ kg m}^{-3} = 1/500^{\text{e}}$ de la densité de l'eau !

\implies Un trou noir est un **objet compact** $\left(\frac{GM}{c^2 R} \text{ grand} \right)$, pas un objet dense $\left(\frac{M}{R^3} \text{ grand} \right)$.

Quelques propriétés des trous noirs (1/2)

- **Un trou noir n'est pas un "aspirateur universel"** : au delà d'une certaine distance (de l'ordre de grandeur de la taille de l'horizon), la matière peut tout à fait rester en orbite stable autour du trou noir.
- **Un trou noir n'est pas un "objet extrêmement dense"** : au contraire, il est fait de **vide** (l'horizon est une frontière immatérielle), sauf peut-être en son centre (*singularité*). Si l'on définit une "densité moyenne" par $\bar{\rho} = M/(4/3\pi R^3)$, alors
 - pour le trou noir au centre de notre galaxie (Sgr A*) : $\bar{\rho} \sim 10^6 \text{ kg m}^{-3} = 2 \cdot 10^{-4} \times$ la densité d'une naine blanche
 - pour le trou noir au centre de la galaxie M87 (M 87*) : $\bar{\rho} \sim 2 \text{ kg m}^{-3} = 1/500^{\text{e}}$ de la densité de l'eau !

\implies Un trou noir est un **objet compact** $\left(\frac{GM}{c^2 R} \text{ grand} \right)$, pas un objet dense $\left(\frac{M}{R^3} \text{ grand} \right)$.

- **On peut, en théorie, former un trou noir dans un univers vide de toute matière** : par effondrement d'un paquet d'ondes d'espace-temps (*les ondes gravitationnelles*).

Quelques propriétés des trous noirs (2/2)

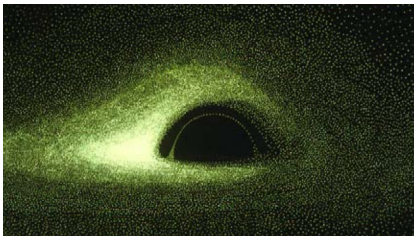
- La **masse** M n'est pas une mesure de la "quantité de matière" à l'intérieur du trou noir, mais un paramètre qui caractérise son *champ de gravitation externe*. M est mesurable : période orbitale d'un corps d'épreuve en orbite circulaire autour du trou noir.
- Le **moment cinétique** J est également une quantité mesurable, par la précession d'un gyroscope en orbite autour du trou noir.
- Le **rayon d'un trou noir** n'est pas un concept bien défini ; en aucun cas, il ne correspond à la distance entre le "centre" du trou noir (la singularité) et l'horizon. Il vaut mieux le définir à partir de l'aire A de l'horizon. Pour un trou noir statique, $R = \sqrt{A/4\pi}$. Le rayon ainsi défini est proportionnel à la masse : $R = \frac{2GM}{c^2} \simeq 3 \left(\frac{M}{M_{\odot}} \right) \text{ km}$

Plan

- 1 Le trou noir comme objet théorique
- 2 Simulations d'images de trou noir**
- 3 Les trous noirs dans l'Univers
- 4 Conclusions et perspectives

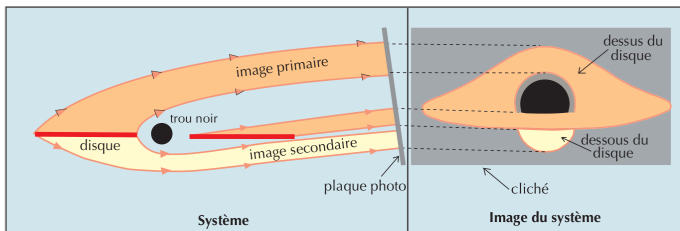
Voir un trou noir ?

Par définition, un trou noir n'est pas *directement* observable, mais sa **silhouette** l'est s'il est entouré de matière (disque d'accrétion) ou est observé sur un fond étoilé



Première image calculée de la silhouette
calculée par J.-P. Luminet

[Luminet, A&A 75, 228 (1979)]

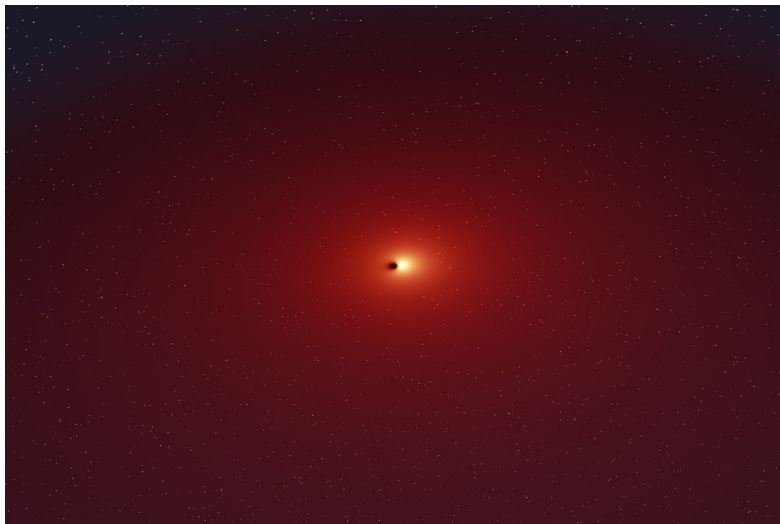


Trajectoire des
rayons lumineux et
formation de l'image

[https://luth.
obspm.fr/~luminet/](https://luth.obspm.fr/~luminet/)

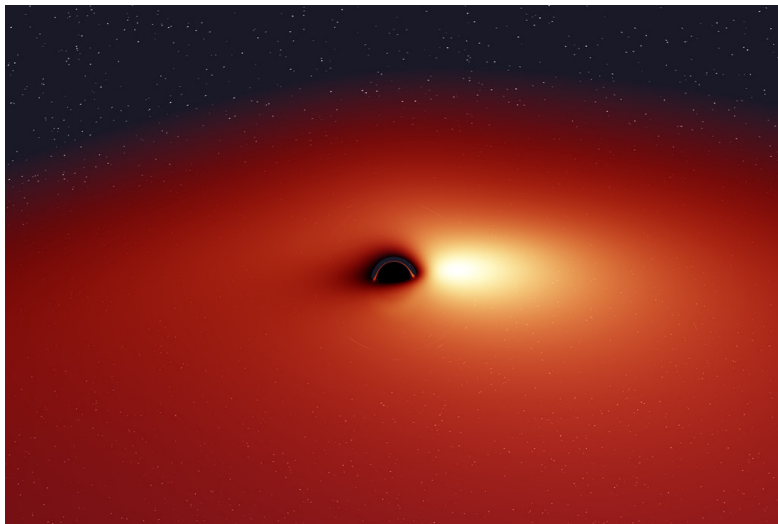
Vol vers un trou noir

Images calculées par J.-A. Marck [Marck, CQG 13, 393 (1996)]



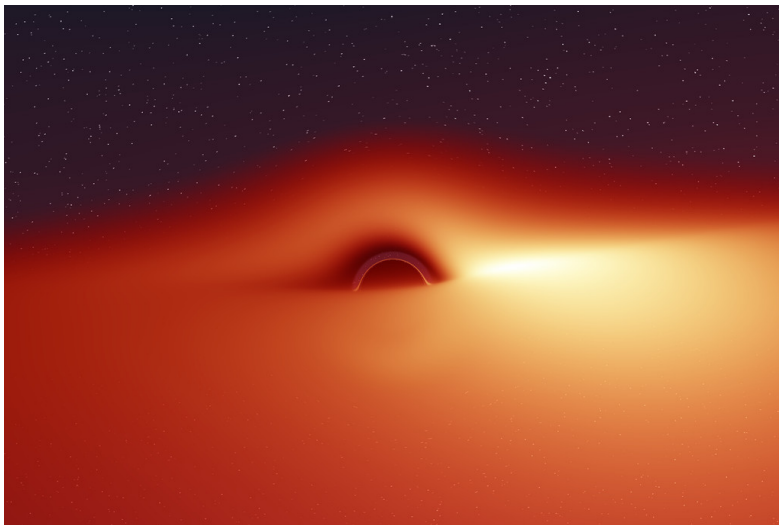
Vol vers un trou noir

Images calculées par J.-A. Marck [Marck, CQG 13, 393 (1996)]



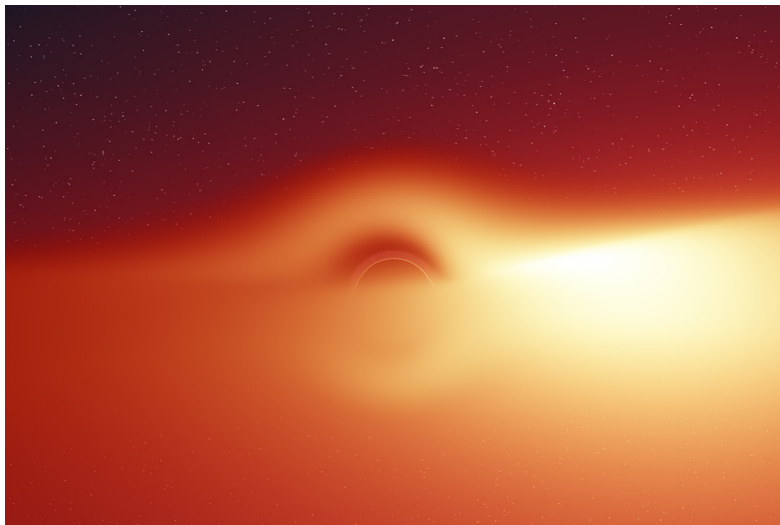
Vol vers un trou noir

Images calculées par J.-A. Marck [Marck, CQG 13, 393 (1996)]



Vol vers un trou noir

Images calculées par J.-A. Marck [Marck, CQG 13, 393 (1996)]



Vol vers un trou noir

Images calculées par J.-A. Marck [Marck, CQG 13, 393 (1996)]



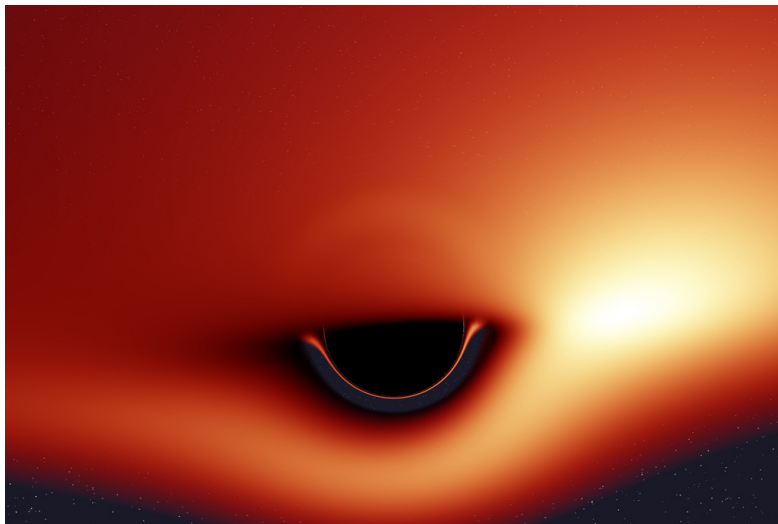
Vol vers un trou noir

Images calculées par J.-A. Marck [Marck, CQG 13, 393 (1996)]



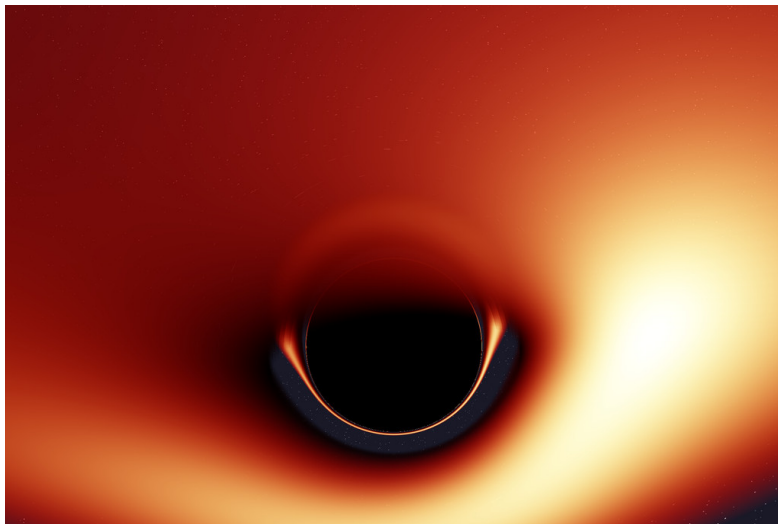
Vol vers un trou noir

Images calculées par J.-A. Marck [Marck, CQG 13, 393 (1996)]



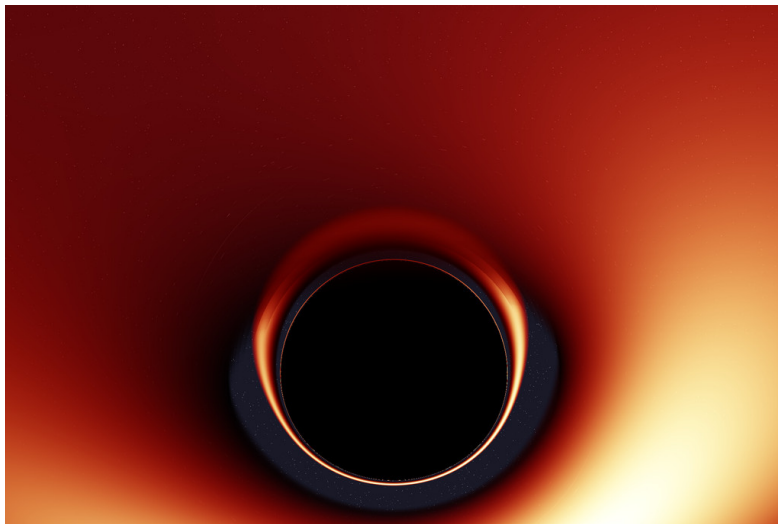
Vol vers un trou noir

Images calculées par J.-A. Marck [[Marck, CQG 13, 393 \(1996\)](#)]



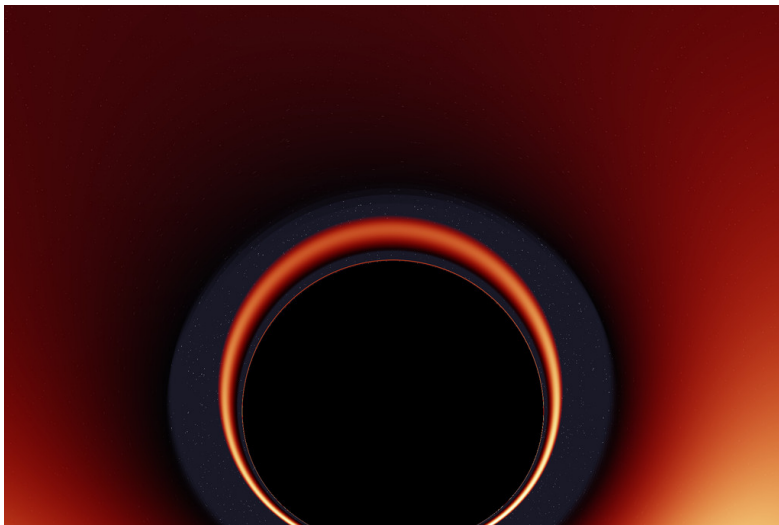
Vol vers un trou noir

Images calculées par J.-A. Marck [[Marck, CQG 13, 393 \(1996\)](#)]



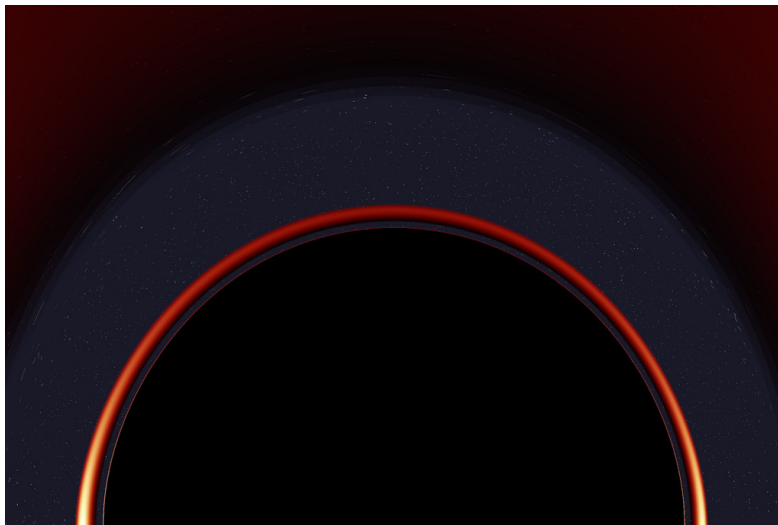
Vol vers un trou noir

Images calculées par J.-A. Marck [[Marck, CQG 13, 393 \(1996\)](#)]

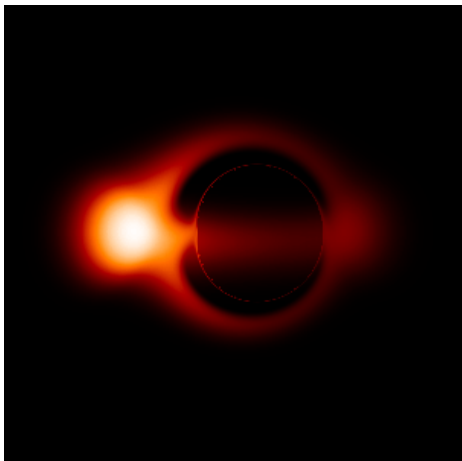
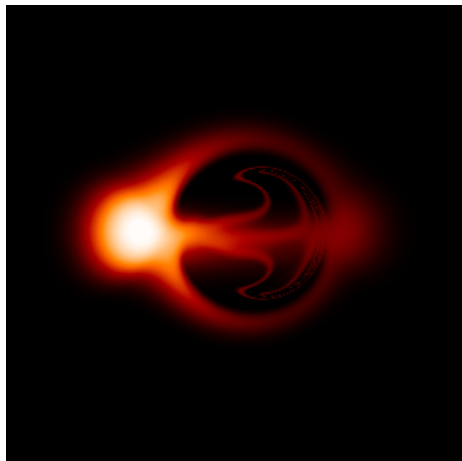


Vol vers un trou noir

Images calculées par J.-A. Marck [Marck, CQG 13, 393 (1996)]

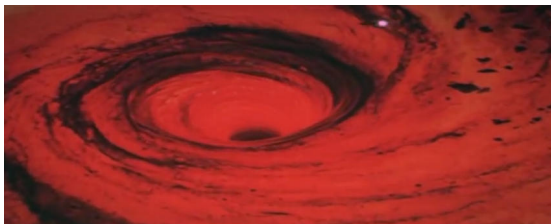


Images d'objets alternatifs au trou noir de Kerr

trou noir de Kerr $a/M = 0.9$ étoile bosonique $k = 1, \omega = 0.70 m/\hbar$ 

[Vincent, Meliani, Grandclément, Gourgoulhon & Straub, CQG 33, 105015 (2016)]

Les trous noirs au cinéma



(c) Walt Disney Pictures

Le Trou Noir

Gary Nelson (1979)
produit par Walt Disney

Image d'un "maelstrom cosmique" **très peu réaliste** : aucun effet de mirage gravitationnel

→ seul l'effet attractif du trou noir est mis en avant

Les trous noirs au cinéma



(c) Warner Bros. Pictures

Interstellar

Christopher Nolan (2014)

Image **calculée suivant les équations de la relativité générale** fournies par Kip Thorne (Prix Nobel de physique 2017)

- Tous les effets de mirage gravitationnel sont là
- Les effets de dilatation temporelle sont bien mis en avant dans le film
- Il manque toutefois l'effet Doppler pour que l'image soit pleinement réaliste

Les trous noirs au cinéma

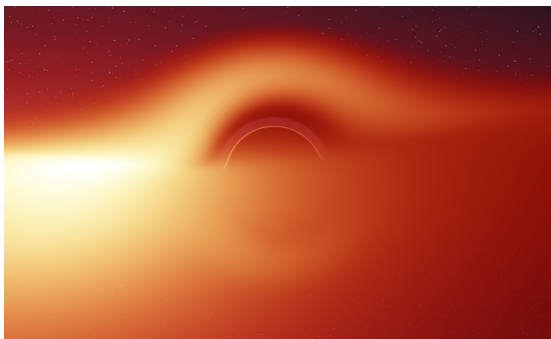


Image calculée par J.-A. Marck (1996)

Interstellar

Christopher Nolan (2014)

- Tous les effets de mirage gravitationnel sont là
- Les effets de dilatation temporelle sont bien mis en avant dans le film
- Il manque toutefois l'effet Doppler pour que l'image soit pleinement réaliste

Plan

- 1 Le trou noir comme objet théorique
- 2 Simulations d'images de trou noir
- 3 Les trous noirs dans l'Univers**
- 4 Conclusions et perspectives

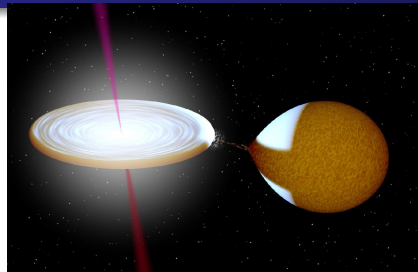
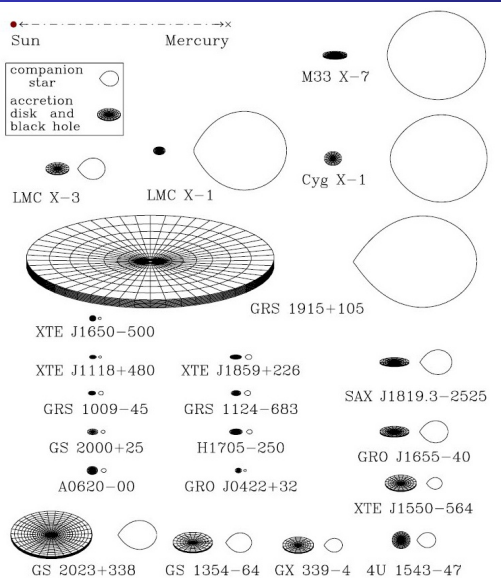
Les trous noirs dans le ciel

Trois catégories de trous noirs astrophysiques :

- trous noirs stellaires**, restes d'étoiles massives (supernovæ) :
 $M \sim 10 \text{ à } 30 M_{\odot}$ et $R \sim 30 \text{ à } 90 \text{ km}$
exemple : Cyg X-1 : $M = 15 M_{\odot}$ et $R = 45 \text{ km}$
- trous noirs supermassifs**, au centre des galaxies :
 $M \sim 10^5 \text{ à } 10^{10} M_{\odot}$ et $R \sim 3 \times 10^5 \text{ km à } 200 \text{ UA}^1$
exemples : Sgr A : $M = 4,3 \times 10^6 M_{\odot}$ et $R = 13 \times 10^6 \text{ km}$
 M 87* : $M = 6,2 \times 10^9 M_{\odot}$ et $R = 120 \text{ UA}$*
- trous noirs de masse intermédiaire**, vus comme des sources X ultra-lumineuses :
 $M \sim 10^2 - 10^5 M_{\odot}$ et $R \sim 300 \text{ km} - 3 \times 10^5 \text{ km}$
exemple : ESO 243-49 HLX-1 : $M \sim 10^4 M_{\odot}$; $R \sim 3 \times 10^4 \text{ km}$

1. UA = unité astronomique \simeq distance Terre-Soleil

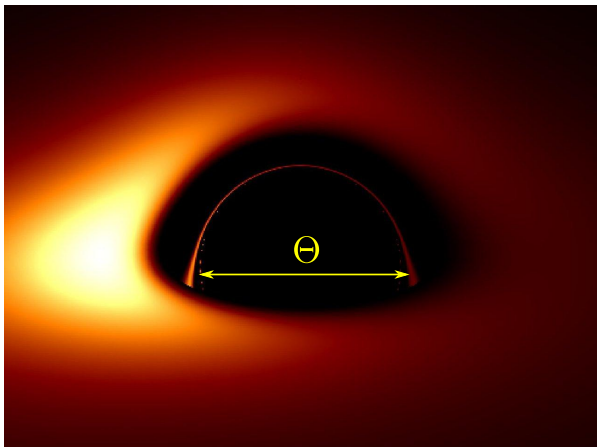
Trous noirs dans les binaires X



Une vingtaine de trous noirs identifiés dans notre galaxie
 ⇒ **détection indirecte** (argument basé sur la masse de l'objet sombre)

[McClintock et al. (2011)]

Peut-on voir les trous noirs ?



Simulation d'image (disque d'accrétion fin)

[Vincent, Paumard, Gourgoulhon & Perrin, CQG 28, 225011 (2011)]

Le plus gros trou noir en
taille apparente sur le ciel :

Sgr A* : $\Theta = 53 \mu\text{as}$

Viennent ensuite

M87 : $\Theta = 21 \mu\text{as}$

M31 : $\Theta = 20 \mu\text{as}$

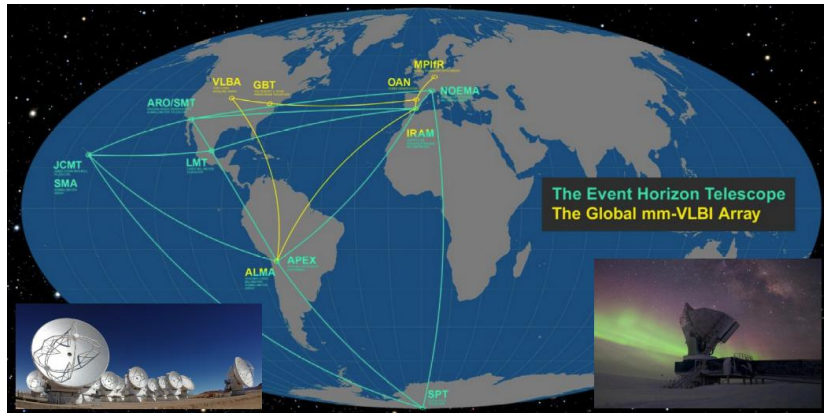
Rem. 1 : Les trous noirs
dans les binaires X sont
 $\sim 10^5$ fois plus petits car
 $\Theta \propto M/d$

Rem. 2 : résolution angulaire
du HST : $\Theta_{\min} \sim 10^5 \mu\text{as}$!

L'Event Horizon Telescope

Interférométrie à très grande base (VLBI) en ondes (sub)millimétriques

⇒ un télescope de taille planétaire !



Campagne d'observation en avril 2017 ⇒ première image dévoilée en 2019

10 avril 2019 : la toute première image observée !

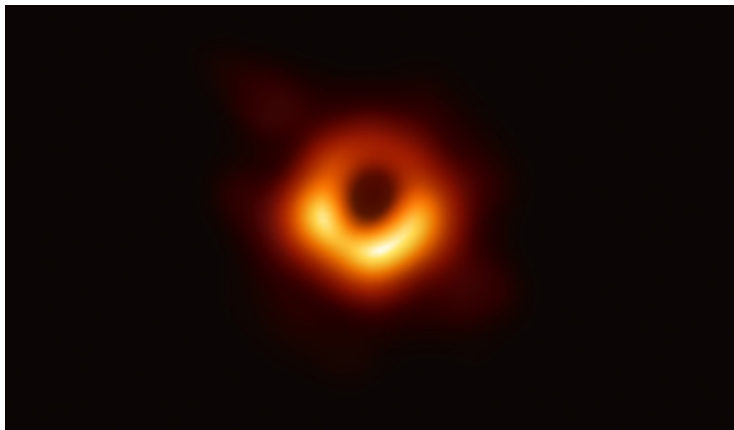
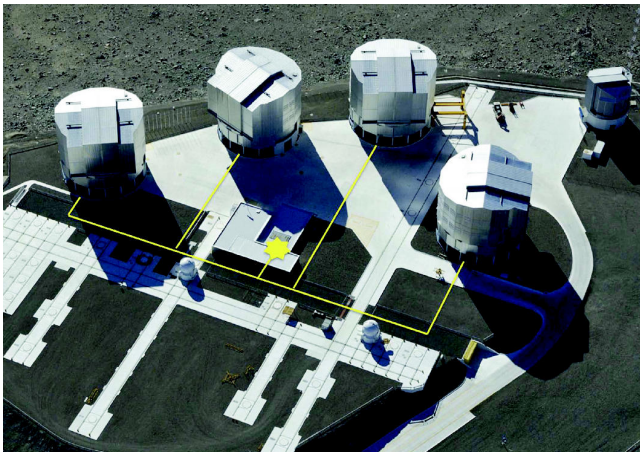


Image du trou noir M87* par la collaboration *Event Horizon Telescope*

[EHT Collaboration, ApJ 875, L1 (2019)]

Observations en interférométrie infra-rouge

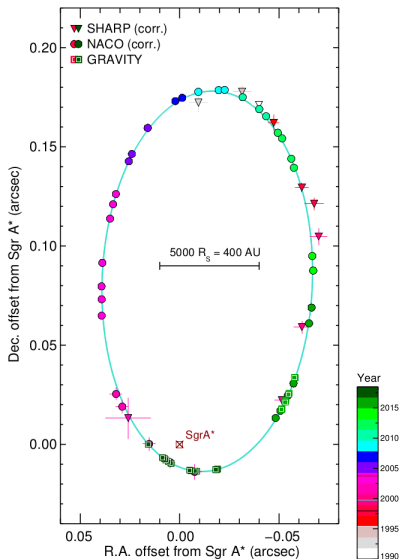


[Gillessen et al. 2010]

Instrument GRAVITY au VLT (2016)

Combine les faisceaux
des 4 télescopes de 8 m
et de 4 télescopes
auxiliaires
⇒ précision
astrométrique de $10 \mu\text{as}$

Le trou noir du centre de notre galaxie : Sgr A*



Trou noir Sgr A* :

- distance : $d = 26\,000$ années-lumière

- masse :

$$\begin{aligned}
 M &= 4.10 \times 10^6 M_{\odot} \\
 &= 20.2 \text{ s} \quad (c = G = 1) \\
 &= 6.06 \times 10^9 \text{ m}
 \end{aligned}$$

- spin $J = aM$ pas encore connu...

⇒ taille de l'ombre $\Theta \sim 53 \mu\text{as}$

← **Orbite de l'étoile S2 autour de Sgr A***

S2 : étoile de type B

période orbitale : $P = 16.05$ an

périastre (mai 2018) :

- $r_{\text{per}} = 120 \text{ UA} = 3 \times 10^3 M$

- $v_{\text{per}} = 7650 \text{ km s}^{-1} = 0.025 c$

[GRAVITY team, A&A 615, L15 (2018)]

Mai 2022 : image de Sgr A* (données EHT de 2017)

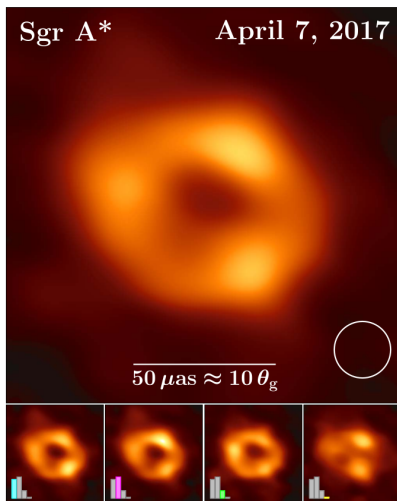


Image du trou noir Sgr A* par la collaboration *Event Horizon Telescope*

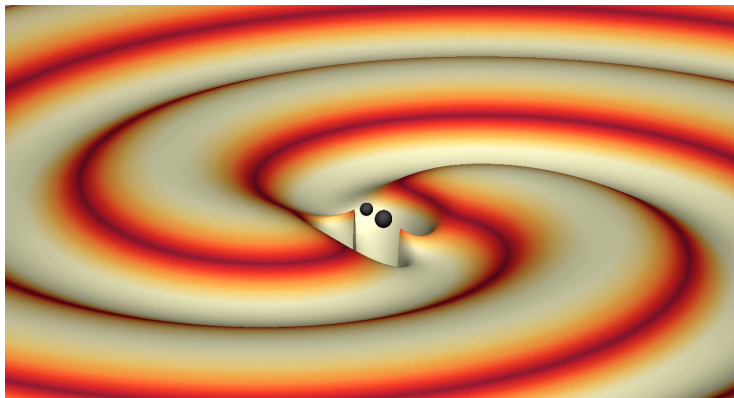
[EHT Collaboration, *ApJ* 930, L12 (2022)]

Un autre canal d'observation des trous noirs : les ondes gravitationnelles



Détecteur interférométrique d'ondes gravitationnelles **VIRGO**
Cascina, Pise, Italie [CNRS/INFN]

Ondes gravitationnelles émises par la fusion de deux trous noirs

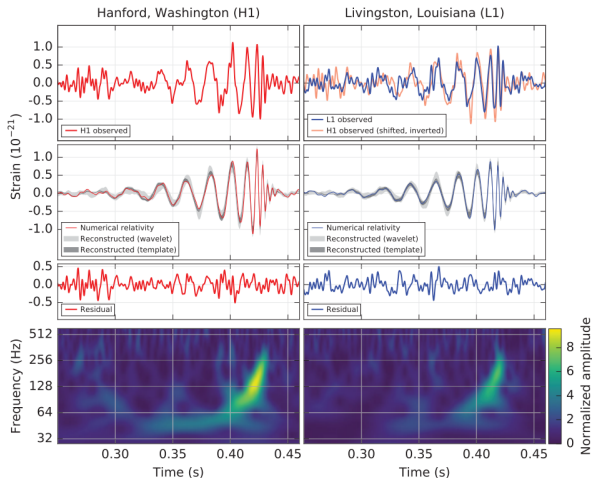


Simulation numérique réalisée en résolvant les équations d'Einstein par ordinateur

[SXS Project]

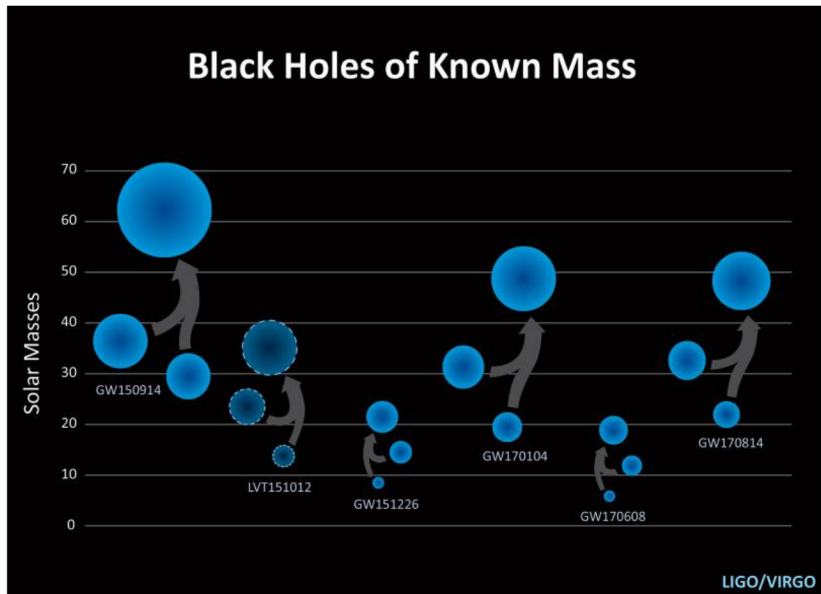
Première détection d'ondes gravitationnelles

Le 14 septembre 2015, à 09 h 50 min 45 s UTC :



[Abbott et al., PRL 116, 061102 (2016)]

Trous noirs détectés en ondes gravitationnelles



Plan

- 1 Le trou noir comme objet théorique
- 2 Simulations d'images de trou noir
- 3 Les trous noirs dans l'Univers
- 4 Conclusions et perspectives

Conclusions

- Les trous noirs font aujourd'hui partie du **bestiaire standard de l'astrophysique**, au même titre que les planètes, les étoiles et les galaxies.

Conclusions

- Les trous noirs font aujourd'hui partie du **bestiaire standard de l'astrophysique**, au même titre que les planètes, les étoiles et les galaxies.
- La théorie des trous noirs, qui repose sur la **relativité générale**, est très bien établie ; elle conduit à des prédictions étonnantes, mais **vérifiées expérimentalement** dans des conditions moins extrêmes (dilatation des temps au voisinage de la Terre ; déviation des rayons lumineux).

Conclusions

- Les trous noirs font aujourd'hui partie du **bestiaire standard de l'astrophysique**, au même titre que les planètes, les étoiles et les galaxies.
- La théorie des trous noirs, qui repose sur la **relativité générale**, est très bien établie ; elle conduit à des prédictions étonnantes, mais **vérifiées expérimentalement** dans des conditions moins extrêmes (dilatation des temps au voisinage de la Terre ; déviation des rayons lumineux).
- On a récemment obtenu les toutes **premières images** des trous noirs **M87*** (2019) et **Sgr A*** (2022).

Conclusions

- Les trous noirs font aujourd'hui partie du **bestiaire standard de l'astrophysique**, au même titre que les planètes, les étoiles et les galaxies.
- La théorie des trous noirs, qui repose sur la **relativité générale**, est très bien établie ; elle conduit à des prédictions étonnantes, mais **vérifiées expérimentalement** dans des conditions moins extrêmes (dilatation des temps au voisinage de la Terre ; déviation des rayons lumineux).
- On a récemment obtenu les toutes **premières images** des trous noirs **M87*** (2019) et **Sgr A*** (2022).
- Les **ondes gravitationnelles**, détectées pour la première fois en 2015, ont ouvert une nouvelle fenêtre observationnelle sur les trous noirs.

Conclusions

- Les trous noirs font aujourd'hui partie du **bestiaire standard de l'astrophysique**, au même titre que les planètes, les étoiles et les galaxies.
- La théorie des trous noirs, qui repose sur la **relativité générale**, est très bien établie ; elle conduit à des prédictions étonnantes, mais **vérifiées expérimentalement** dans des conditions moins extrêmes (dilatation des temps au voisinage de la Terre ; déviation des rayons lumineux).
- On a récemment obtenu les toutes **premières images** des trous noirs **M87*** (2019) et **Sgr A*** (2022).
- Les **ondes gravitationnelles**, détectées pour la première fois en 2015, ont ouvert une nouvelle fenêtre observationnelle sur les trous noirs.
- Ces différents canaux d'observation des trous noirs vont permettre des **tests de la relativité générale**, affinant ainsi notre connaissance de l'espace-temps.

Bibliographie

- P. Binétruy, 2016, *À la poursuite des ondes gravitationnelles* (2e éd.), Dunod
- T. Damour, 2005, *Si Einstein m'était conté*, Le Cherche Midi
- S. Collion, 2019, *Voyage dans les mathématiques de l'espace-temps*, EDP Sciences
- N. Deruelle, 2015, *De Pythagore à Einstein, tout est nombre*, Belin
- N. Deruelle & J.-P. Lasota, 2018, *Les Ondes gravitationnelles*, Odile Jacob
- J.-P. Lasota, 2010, *La science des trous noirs*, Odile Jacob
- J.-P. Luminet, 2006, *Le Destin de l'Univers II*, Folio Essais
- A. Riazuelo, 2016, *Les trous noirs : à la poursuite de l'invisible*, Vuibert
video : <https://www2.iap.fr/users/riazuelo/bh/vuibert>
- M. Smerlak, 2016, *Les trous noirs*, Que sais-je?, PUF
- P. Spagnou, 2017, *Les mystères du temps*, CNRS Éditions
- K.S. Thorne, 1997, *Trous noirs et distorsions du temps*, Flammarion
- K.S. Thorne, 2014, *The Science of Interstellar*, Norton

À propos de ce document

Cette présentation a été réalisée entièrement à l'aide de **logiciels libres** :



Linux

système d'exploitation (Ubuntu)



traitement de texte



Inkscape

dessin vectoriel

April : <https://www.april.org/>
Promouvoir et défendre le logiciel libre